

## Research Article

Received: July 16, 2019; Accepted: November 8, 2019

# ปัจจัยที่มีผลต่อการวิเคราะห์ห้องแม่ลีส ในตัวอย่างข้าวเจ้าด้วยวิธีจับกับไอโอดีน Factors Affecting Amylose Analysis in Rice Samples by Iodine Binding Method

ชลธิดา ชลธิชาโลทร และนาภา ตั้งเตรียมจิตมั่น\*

ภาควิชาเคมี คณะวิทยาศาสตร์ มหาวิทยาลัยบูรพา  
ถนนลงหาดบางแสน ตำบลแสนสุข อำเภอเมือง จังหวัดชลบุรี 20131

เบญจวรรณ ชิวปรีชา

ภาควิชาชีววิทยา คณะวิทยาศาสตร์ มหาวิทยาลัยบูรพา  
ถนนลงหาดบางแสน ตำบลแสนสุข อำเภอเมือง จังหวัดชลบุรี 20131

อรสา สุริยาพันธ์

ภาควิชาอาหารเคมี คณะเภสัชศาสตร์ มหาวิทยาลัยมหิดล  
แขวงทุ่งพญาไท เขตราชเทวี กรุงเทพมหานคร 10400

Chonthida Chonlathidchalotorn and Napa Tangtreamjitmun\*

*Department of Chemistry, Faculty of Science, Burapha University,  
Long-Hard Bangsaen Road, Saensuk, Muang, Chon Buri 20131*

Benchawan Chiwapreecha

*Biology Department, Faculty of Science, Burapha University,  
Long-Hard Bangsaen Road, Saensuk, Mueng, Chonburi, 20131*

Orasa Suriyaphan

*Department of Food Chemistry, Faculty of Pharmacy, Mahidol University,  
Thung Phaya Thai, Ratchathewi, Bangkok 10400*

## บทคัดย่อ

งานวิจัยนี้ได้ศึกษาปัจจัยที่ส่งผลต่อความคลาดเคลื่อนในการวิเคราะห์ห้องแม่ลีสในข้าวเจ้าด้วยวิธีจับกับไอโอดีนเพื่อสร้างมาตรฐานของวิธีวิเคราะห์สำหรับใช้ในห้องปฏิบัติการในประเทศไทย โดยศึกษาเปรียบเทียบระหว่างวิธีมาตรฐานระดับสากล ISO 6647: 2015 และวิธีวิเคราะห์ตามมาตรฐานสินค้าเกษตร เรื่อง ข้าว เลขที่ มาตรฐาน 4004-2560 ของกระทรวงเกษตรและสหกรณ์ ผลการศึกษาพบว่าปัจจัยหลักสำคัญที่ทำให้ผลการวิเคราะห์

\*ผู้รับผิดชอบบทความ : napa@buu.ac.th

doi: 10.14456/tstj.2020.153

ปริมาณอะไมโลสมีความคลาดเคลื่อนสูงจากการใช้สารบริสุทธิ์อะไมโลสในการสร้างกราฟมาตรฐานแทนการใช้แบ่งข้าวมาตรฐาน กราฟมาตรฐานที่เตรียมจากแบ่งข้าวมาตรฐานมีสมการเส้นตรง  $y = 0.0161x - 0.0046$  และค่าสัมประสิทธิ์การตัดสินใจ ( $R^2$ ) 0.9980 มีความเที่ยงภายในวัน 2.6 และ 1.7 %RSD ( $n = 5$ ) ที่ปริมาณอะไมโลส 12 และ 29 % ตามลำดับ ส่วนความเที่ยงระหว่างวันมีค่า 5.3 และ 3.1 %RSD ( $n = 10$ ) ที่ปริมาณอะไมโลส 12 และ 29 % ตามลำดับ เมื่อนำวิธีที่ได้มาตรวจสอบความถูกต้องด้วยสารมาตรฐานอ้างอิงแบ่งข้าวเจ้า BCR-467 ปรากฏว่าผลที่ได้ไม่แตกต่างอย่างมีนัยสำคัญ ที่ระดับความเชื่อมั่น 95 % จากนั้นได้นำวิธีนี้ไปวิเคราะห์หาปริมาณอะไมโลสในข้าวพันธุ์ต่าง ๆ จำนวน 26 ตัวอย่าง

**คำสำคัญ :** อะไมโลส; ไอโอดีน; ข้าว

## Abstract

Factors affecting the error of amylose analysis in rice samples by iodine binding method were studied in order to establish a standard amylose analysis in rice samples for laboratories in Thailand. A comparison between an international standard method, ISO 6647: 2015 and rice department standard method, TAS 4004-2017 from the Ministry of Agriculture and Cooperatives (Thailand) was studied. The results showed that the main factor that caused large error in amylose analysis was the use of pure amylose standards instead of cultivated rice flour standards in constructing the calibration curve. The calibration curve constructed with cultivated rice flour standards was linearly followed the equation  $y = 0.0161x - 0.0046$  with  $R^2$  0.9980. The precision within-day was 2.6 and 1.7 %RSD ( $n = 5$ ) at amylose 12 and 29 %, respectively. The precision between-day was 5.3 and 3.1 %RSD ( $n = 10$ ) at amylose 12 and 29 %, respectively. The accuracy of the method was validated with rice flour certified reference material BCR-467. The Student's t-test showed that there was no significant difference in the result at 95 % confidence level. This method was used to analyze amylose in 26 rice samples with various cultivars.

**Keywords:** amylose; iodine; rice

## 1. บทนำ

ข้าว (*Oryza sativa L.*) มีส่วนประกอบหลักคือ สตาร์ช ประกอบด้วยอะไมโลสและอะไมโลเพคทิน อะไมโลสเป็นพอลิเมอร์เชิงเส้นของน้ำตาลกลูโคส โดยมีโมเลกุลกลูโคสเชื่อมต่อกันเป็นสายยาวด้วยพันธะ  $\alpha$ -1,4 ไกลโคซิดิก (glycosidic bond) ส่วนอะไมโลเพคทิน เป็นอะไมโลสที่มีพันธะกิ่งแยก ที่ตำแหน่ง  $\alpha$ -1,6 [1] ปริมาณอะไมโลสเป็นดัชนีที่บ่งชี้คุณภาพข้าว โดย

ข้าวต่างพันธุ์กันจะมีปริมาณอะไมโลสที่ต่างกัน การวิเคราะห์ปริมาณอะไมโลสจึงมีความสำคัญ เพราะสามารถใช้ในการจำแนกพันธุ์ของข้าว ซึ่งมีการจำแนกชนิดของข้าวตามปริมาณอะไมโลสเป็น 3 กลุ่ม ได้แก่ ข้าวที่มีอะไมโลสต่ำ (< 20 %) เมื่อหุงสุกเนื้อจะนุ่มและเหนียว ข้าวที่มีอะไมโลสปานกลาง (21-25 %) และ ข้าวที่มีอะไมโลสที่สูง (26-33 %) เมื่อหุงสุกเนื้อจะค่อนข้างแข็งตามปริมาณอะไมโลสที่มากขึ้น [2]

McCreedy และ Hassid เป็นกลุ่มแรกที่เสนอวิธีหาระบิมาณอะไมโลสด้วยการทำปฏิกิริยากับไอโอดีนได้เป็นสารสีน้ำเงิน (iodine binding method) โดยใช้อะไมโลสบริสุทธิ์ผสมกับอะไมโลเพคทินบริสุทธิ์ในอัตราส่วนต่าง ๆ เป็นสารมาตรฐานในการสร้างกราฟมาตรฐาน และตรวจวัดการดูดกลืนแสงที่ความยาวคลื่น 590 nm [3] ต่อมาในปี ค.ศ. 1971 Juliano ได้ปรับปรุงวิธีเพื่อเพิ่มความสามารถในการทำข้ามของวิธีโดยปรับเปลี่ยนวิธีการเตรียมน้ำแข็งของปฏิกิริยาและใช้ความยาวคลื่นที่ 620 nm แต่ใช้เพียงสารมาตรฐานอะไมโลสในการสร้างกราฟมาตรฐาน [4] จากนั้นองค์กรระหว่างประเทศว่าด้วยการมาตรฐาน (International Organization for Standardization, ISO) ได้เสนอวิธีการที่ Juliano ปรับปรุงขึ้นนี้เป็นวิธีมาตรฐาน ISO 6647 ตั้งแต่ปี ค.ศ. 1987 และมีการพัฒนาวิธีมาตรฐานนี้เรื่อยมาจนถึงปี ค.ศ. 2015 ได้มีการปรับปรุงวิธีมาตรฐานล่าสุดเป็น ISO 6647: 2015 ซึ่งประกอบด้วย 2 ส่วน ส่วนที่ 1 วิธีอ้างอิง (reference method) [5] เป็นวิธีหาระบิมาณอะไมโลสในพันธุ์ข้าวเจ้าชนิดต่าง ๆ ของประเทศไทย ๆ ด้วยเทคนิค size exclusion chromatography เพื่อนำมาทำเป็นแป้งข้าวมาตรฐานที่มีเปอร์เซ็นต์อะไมโลสต่าง ๆ กัน ส่วนที่ 2 วิธีวิเคราะห์ตัวอย่าง (routine method) [6] ซึ่งนำแป้งข้าวมาตรฐานที่ทราบค่าอะไมโลสด้วยวิธีอ้างอิงในส่วนที่ 1 มาสร้างกราฟมาตรฐานเพื่อหาปริมาณอะไมโลสในข้าวเจ้าตัวอย่างที่ปลูกขึ้นเองในประเทศไทย นั้น ๆ วิธีนี้ให้เลือกวัดการดูดกลืนแสงที่ความยาวคลื่น 620 หรือ 720 nm ถึงแม้จะมีวิธีมาตรฐานระดับสากลแต่เมื่อหน่วยงานเครือข่ายสากลเพื่อคุณภาพข้าว (International Network for Quality Rice, INQR) ได้ทดลองหาความเที่ยงโดยส่งตัวอย่างข้าว 17 พันธุ์ไปยังห้องปฏิบัติการทั่วโลกจำนวน 27 แห่ง เพื่อวิเคราะห์ปริมาณอะไมโลสด้วยวิธี iodine binding method ที่

ดำเนินเป็นประจำของแต่ละห้องปฏิบัติการ พบว่าปริมาณอะไมโลสที่วิเคราะห์ขึ้นแต่ละห้องปฏิบัติการมีความเที่ยงสูง แต่มีเปลี่ยนเทียบปริมาณอะไมโลสที่วิเคราะห์ได้ระหว่างห้องปฏิบัติการพบว่ามีค่าต่างกันกระจายออกไปมากสำหรับตัวอย่างเดียวกัน [7] นอกจากนี้สำหรับประเทศไทยจะมีวิเคราะห์ที่ระบุอยู่ในมาตรฐานสินค้าเกษตร มกช. 4004-2560 จากกระทรวงเกษตรและสหกรณ์ [8] ที่ใช้อะไมโลสบริสุทธิ์ในการสร้างกราฟมาตรฐานสำหรับการวิเคราะห์ปริมาณอะไมโลส โดยการเกิดสีกับไอโอดีนที่ต่างจากวิธีมาตรฐานของ ISO 6647: 2015 จึงเป็นหัวข้อที่น่าสนใจและได้นำมาศึกษาในงานวิจัยนี้

## 2. อุปกรณ์และวิธีการ

### 2.1 เครื่องมือและสารเคมี

เครื่องไดโอดอาร์เรย์สเปกโตรโฟโตเมตร์ (diode array spectrophotometer) รุ่น HP 8453 บริษัท Hewlett Packard ประเทศไทย นี้ เครื่องซึ่งน้ำหนัก ทอนนิym 5 ตำแหน่ง รุ่น MS105DU บริษัท Mettler Toledo ประเทศไทย เชอร์แลนด์ ในโคร์ปีเปต (micropipette) ขนาด 100-1000 μL และ 0.5-5 mL รุ่น Research® Plus บริษัท Eppendorf ประเทศไทย นี้ เครื่องกวนสารและให้ความร้อน (hotplate stirrer) รุ่น C MAG HS7 จากบริษัท IKA ประเทศไทย มาเลเซีย และแท่งแม่เหล็กกวนสาร (magnetic bar) แบบแท่งทรงกระบอก ขนาด 10x6 mm และเครื่องวัด pH (pH meter) รุ่น FiveEasy บริษัท Mettler Toledo ประเทศไทย เชอร์แลนด์

สามารถอ้างอิงแป้งข้าวเจ้า BCR-467 สถาบัน Institute for Reference Materials and Measurements ประเทศไทยเบลเยียม สารมาตรฐานอะไมโลสจากมันฝรั่ง (amylose from potato: A0512.0005) บริษัท Sigma-Aldrich ประเทศไทย

อเมริกา และแบ่งข้าวมาตรฐานที่มีปริมาณอะไมโลส 14.19, 18.70 และ 27.49 % จากศูนย์วิจัยข้าวปทุม ธานี กรมการข้าว กระทรวงเกษตรและสหกรณ์ ตำบล รังสิต อำเภอธัญบุรี จังหวัดปทุมธานี สารมาตรฐานเหล่านี้จะเก็บไว้ที่ -4 °C ในตู้เย็น และนำออกมารวบไว้ในเดซิเคเตอร์จนถึงอุณหภูมิห้องก่อนจะนำไปชั่ง

เอทานอล 95 % ( $C_2H_5O$ , 46.1 g/mol) โซเดียมไฮดรอกไซด์ ( $NaOH$ , 40 g/mol บริษัท Carlo Erba Reagents ประเทศอิตาลี ไอโอดีน ( $I_2$ , 253.8 g/mol) โพแทสเซียมไอกอไดค์ ( $KI$ , 166 g/mol) กรดอะซิติก 100 % ( $CH_3COOH$ , 60.05 g/mol) บริษัท Merck ประเทศเยอรมันี สารเคมีทุกตัวเป็นเกรดวิเคราะห์

## 2.2 การเตรียมน้ำแบ่ง

บดตัวอย่างข้าว 1 กรัม ด้วยโกร่งบดสารและร่อนผ่านตะแกรง 40 mesh ชั่งแบ่งข้าวที่ได้ 0.02500 g ใส่บีกเกอร์ขนาด 10 mL เติม 95 % เอทานอล 0.25 mL เติมโซเดียมไฮดรอกไซด์ 2 mol/L 2.25 mL ตั้งทิ้งไว้ค้างคืน ( $\approx 16\text{-}24$  h) จากนั้นเทใส่ขวดวัดปริมาตร 25 mL แล้วปรับปริมาตรด้วยน้ำกลั่น

## 2.3 การทำปฏิกิริยาเกิดสีกับไอโอดีน [6]

เติมน้ำกลั่น 30 mL ลงในขวดวัดปริมาตรขนาด 50 mL เติมกรดอะซิติก 1 mol/L 0.5 mL เติมสารละลายไอโอดีน (เตรียมจาก  $I_2$  0.2 g ผสม  $KI$  2.0 g ในสารละลาย 100 mL) 1 mL และเติมสารละลายน้ำแบ่ง (จากข้อ 2.2) 2.5 mL ปรับปริมาตรด้วยน้ำกลั่น ตั้งทิ้งไว้ 10 min แล้วนำไปวัดค่าการดูดกลืนแสงด้วยเครื่องไดโอดอาร์เรย์สเปกโตรโฟโตมิเตอร์ ที่ความยาวคลื่น 620 nm

## 2.4 การเตรียมกราฟมาตรฐานจากแบ่งข้าวมาตรฐาน

นำแบ่งข้าวมาตรฐานที่มีปริมาณอะไมโลส 14.19, 18.70 และ 27.49 % มาชั่งโดยคำนวณน้ำหนัก

ของข้าวที่ต้องชั่งเพื่อให้ได้เปอร์เซ็นต์ที่เป็นเลขลงตัว คือ ชั่งแบ่งข้าวมาตรฐาน 14.19 % มา 0.01233 g จะได้อะไมโลส 7 % ชั่งแบ่งข้าวมาตรฐาน 18.70 % มา 0.02005 g จะได้อะไมโลส 15 % ชั่งแบ่งข้าวมาตรฐาน 27.49 % มา 0.02000 และ 0.02728 g จะได้อะไมโลส 22 และ 30 % ตามลำดับ นำไปเตรียมน้ำแบ่งตามวิธีในข้อ 2.2 และทำให้เกิดสีและวัดค่าการดูดกลืนแสง ตามวิธีในข้อ 2.3 นำค่าการดูดกลืนแสงที่ได้ไปสร้างกราฟมาตรฐานเพื่อคำนวณหาปริมาณอะไมโลสในตัวอย่างข้าว

## 3. ผลการวิจัยและวิจารณ์

### 3.1 การเตรียมน้ำแบ่ง

#### 3.1.1 การลดน้ำหนักแบ่งในการเตรียมน้ำแบ่ง

เนื่องจากน้ำหนักแบ่งที่ใช้วิเคราะห์ปริมาณอะไมโลสตามวิธีมาตรฐาน ISO 6647: 2015 และ มากข. 4004-2560 คือ 0.1 g เตรียมเป็นน้ำแบ่ง 100 mL แต่นำไปใช้เพียง 5 mL ในการทำให้เกิดสีดังนั้นเพื่อเป็นการลดการใช้สารเคมีและลดของเสียที่เกิดจากการวิเคราะห์ จึงได้ศึกษาการลดปริมาณน้ำแบ่งที่เตรียมจาก 100 เป็น 25 mL โดยลดน้ำหนักแบ่งสารเคมีและน้ำที่ใช้เตรียมเพื่อรักษาความเข้มข้นของน้ำแบ่งไว้เท่าเดิม โดยการใช้เครื่องชั่งทchniyim 5 ตำแหน่ง ชั่งแบ่งข้าวมาตรฐานและตัวอย่าง 5 ตัวอย่าง เตรียม 2 ชุด โดยชุดที่ 1 ชั่ง 0.10000 g เตรียมเป็นน้ำแบ่ง 100 mL และชุดที่ 2 ชั่ง 0.02500 g เตรียมเป็นน้ำแบ่ง 25 mL นำไปเตรียมตามวิธีในข้อ 2.2-2.3 นำค่าการดูดกลืนแสงที่ได้มาสร้างกราฟมาตรฐาน ได้ข้อมูลดังในตารางที่ 1

เมื่อนำค่าการดูดกลืนแสงของตัวอย่างแบ่งข้าว 5 ตัวอย่าง มาคำนวณปริมาณอะไมโลสจากกราฟมาตรฐานของแต่ละชุด ได้ผลดังในตารางที่ 2

เมื่อนำข้อมูลที่ได้มาวิเคราะห์ด้วยวิธีทางสถิติ paired t-test พบว่า p-value (two tail) = 0.13 ซึ่งมากกว่า  $\alpha$  (0.05) แสดงว่าปริมาณอะไมโลสที่วิเคราะห์ได้มีแตกต่างอย่างมีนัยสำคัญ เมื่อใช้แบ่งข้าวน้ำหนักต่างกันในการเตรียมน้ำแบ่งที่ความเข้มข้นเดียวกัน

**Table 1** Calibration curve equation preparing from different weights of starch

Set	Starch (g)	Regression equations	R <sup>2</sup>
1	0.10000	$y = 0.0162x - 0.0099$	0.9998
2	0.02500	$y = 0.0161x - 0.0046$	0.9980

**Table 2** Determined amylose content in samples using different weights of starch

No.	Amylose (%)	
	Starch 0.02500 g	Starch 0.10000 g
5	12.48	12.22
10	23.24	23.89
23	26.31	27.25
24	27.96	28.42
25	20.14	20.33

**Table 3** Calibration curve equations from starch dispersion preparing in different conditions

Set	Conditions	NaOH (mol/L)	Regression equations	R <sup>2</sup>
1	Stand overnight	2	$y = 0.0161x - 0.0046$	0.9980
2	Stir 10 min at 80°C	1	$y = 0.0163x + 0.0060$	0.9996

**Table 4** Determined amylose content in samples using different conditions in starch dispersion

No.	Amylose (%)				
	5	10	23	24	25
Stand overnight	12.48	23.24	26.31	27.96	20.14
Stir 10 min at 80 °C	12.61	22.22	27.55	27.48	18.42

งานวิจัยนี้จึงเลือกเตรียมน้ำแบ่งโดยชั่งแบ่ง 0.02500 g เตรียมเป็นน้ำแบ่ง 25 mL โดยมีเงื่อนไขว่าต้องบดข้าวให้เป็นแบ่งที่มีความเป็นเนื้อเดียวกันมากที่สุด เนื่องจากการใช้แบ่งข้าวมาตรฐานมาสร้างกราฟมาตรฐาน ปริมาณอะไมโลสที่ได้จากการชั่งแบ่งข้าวแต่ละครั้งอาจต่างกันได้ ถ้าแบ่งข้าวมาตรฐานไม่มีความเป็นเนื้อเดียวกันเพียงพอ ถึงแม้จะชั่งแบ่งข้าวมาเท่ากัน แต่อาจได้อะไมโลสไม่เท่ากัน ซึ่งเป็นลักษณะที่ต่างจากการใช้สารอะไมโลสบริสุทธิ์มาเตรียมกราฟมาตรฐาน ดังจะเห็นได้จากข้อกำหนดของสารมาตรฐานอ้างอิงแบ่งข้าวเจ้า BCR-467 ที่ใช้สำหรับตรวจสอบความถูกต้องของวิธีที่ระบุว่าปริมาณน้อยที่สุดในการใช้งานสารมาตรฐานอ้างอิงแบ่งข้าวเจ้านี้คือ 0.1000 g ประโยชน์ของการสามารถใช้น้ำหนักข้าวปริมาณน้อยในการวิเคราะห์อะไมโลส จะเห็นได้ชัดในกรณีการศึกษาพันธุ์ข้าวที่มีตัวอย่างข้าวจำนวนน้อย [9]

### 3.1.2 แนวทางที่เหมาะสมที่ใช้ในการเตรียมน้ำแบ่ง

เมื่อนำแบ่งข้าวมาตรฐานและตัวอย่างข้าว 5 ตัวอย่าง ไปเตรียมน้ำแบ่งตามข้อ 2.2 โดยทดลอง 2 ชุด ชุดที่ 1 ตั้งทึ้งไว้ค้างคืนตามข้อ 2.2 ไม่

เปลี่ยนแปลงสภาวะ ส่วนชุดที่ 2 เปลี่ยนเป็นใช้โซเดียมไฮดรอกไซด์ 1 mol/L และการตัวบิมagnetic bar พร้อมหั้งให้ความร้อน 80 °C ใน heating block ที่วางบน hotplate stirrer เป็นเวลา 10 นาที จากนั้นนำน้ำเปลี่ยนทั้ง 2 ชุด มาทำให้เกิดสีและวัดค่าการดูดกลืน แสงตามวิธีในข้อ 2.3 นำค่าการดูดกลืนแสงของแบ่งข้าวมาตรฐานทั้ง 2 ชุด ไปสร้างกราฟมาตรฐาน ได้ข้อมูลดังในตารางที่ 3

จากนั้นจึงใช้สมการกราฟมาตรฐานของแต่ละชุดคำนวณหาค่าอะไมโลสในตัวอย่างข้าวแต่ละชุด ได้ผลดังในตารางที่ 4 เมื่อนำข้อมูลที่ได้มาวิเคราะห์ด้วยวิธีทางสถิติ paired t-test พบร่วม p-value (two tail) = 0.50 ซึ่งมากกว่า  $\alpha$  (0.05) แสดงว่าปริมาณอะไมโลสที่วิเคราะห์ได้ไม่แตกต่างกันอย่างมีนัยสำคัญ เมื่อใช้สภาวะในการเตรียมน้ำเปลี่ยนต่างกัน

การเตรียมน้ำเปลี่ยนด้วยวิธีทั้งค้างคืนนี้ใช้เวลาเป็นตัวช่วยในการทำให้แบ่งแตกตัว แต่การกวนใช้เวลาสั้นทำให้การเตรียมน้ำเปลี่ยนทำได้รวดเร็วโดยใช้การกวนและความร้อนช่วยให้แบ่งแตกตัว แต่ใช้โซเดียมไฮดรอกไซด์ 1 mol/L ซึ่งความเข้มข้นต่ำกว่าแบบทั้งค้างคืน วิธีทั้งค้างคืนนับว่าสะอาดกว่า ไม่ต้องใช้อุปกรณ์มากทำให้ประหยัดต้นทุนและเวลา แต่ต้องมีการวางแผนการวิเคราะห์ล่วงหน้า เพราะจะได้ผลวิเคราะห์ในวันถัดไป ส่วนวิธีกวนพักออมหั้งให้ความร้อนใช้อุปกรณ์มากกว่า โดยเฉพาะการให้ความร้อนด้วย heating block ที่วางบนเครื่อง hotplate stirrer พร้อมหั้งกวนด้วย ทำให้ผลวิเคราะห์ที่ได้สามารถทำซ้ำได้ถูกว่าการให้ความร้อนด้วย water bath โดยไม่มีการกวน (เป็นวิธีตาม ISO 6647: 2015) หรือการกวนอย่างเดียวโดยไม่ให้ความร้อน (เป็นวิธีตาม มกช. 4004-2560) สภาวะการเตรียมน้ำเปลี่ยนทั้ง 2 วิธี ที่ทดลองในงานวิจัยนี้ไม่มีปัญหาแม้กับแบ่งที่ได้จากการใช้กรงรับสารบดเม็ดข้าวด้วยมือ เพราะขนาดอนุภาคของแบ่งที่ได้จะ

ค่อนข้างใหญ่ ประมาณ 420  $\mu\text{m}$  (40 mesh) แต่เมื่อเตรียมด้วยส่องวิชีนจะได้น้ำเปลี่ยนเนื้อเดียวกันไม่มีเศษอนุภาคของแบ่งหลงเหลืออยู่ ต่างจากการกวนอย่างเดียวหรือให้ความร้อนอย่างเดียว ที่บางครั้งพบว่ามีเศษอนุภาคแขวนลอยเหลืออยู่ จึงทำให้ผลวิเคราะห์คลาดเคลื่อนต่างกันออกไปในแต่ละครั้ง ขนาดของแบ่งตามวิธีมาตรฐาน ISO 6647: 2015 และ มกช. 4004-2560 ซึ่งระบุให้ดูดข้าวด้วยเครื่องบด คือ 150-180  $\mu\text{m}$  (100-80 mesh) นับว่ามีความสำคัญมาก ถ้าขนาดของแบ่งไม่ได้ตามนี้ วิธีเตรียมน้ำเปลี่ยนที่ศึกษาทั้งสองวิธีนี้เป็นวิธีที่เหมาะสมจะช่วยให้ได้น้ำเปลี่ยนเนื้อเดียวกัน และวิเคราะห์ซ้ำได้

ดังนั้นเพื่อความสะดวกในงานวิจัยนี้จึงเลือกเตรียมน้ำเปลี่ยน ทั้งค้างคืนไว และนำมาทำให้เกิดสีและวัดค่าการดูดกลืนแสงในวันถัดไป ทำให้สามารถวิเคราะห์อะไมโลสได้ทั้งหลายตัวอย่างพร้อมกันเป็นจำนวนมากกว่าการเลือกใช้การกวน 10 นาที ที่ 80 °C ในการเตรียมน้ำเปลี่ยน เนื่องจากเครื่อง hotplate stirrer มีราคาสูง จึงมีจำนวนจำกัด ทำให้เสียเวลาในการรอแต่ถ้าเตรียมเสร็จแล้วตั้งทิ้งไว้ค้างคืนจะประหยัดเวลาจำนวนมาก รวมทั้งลดต้นทุนการวิเคราะห์ในการซื้อเครื่องบดข้าว

### 3.2 สภาวะที่เหมาะสมในการทำปฏิกิริยา กับไอโอดีน

ขั้นตอนนี้ศึกษาปัจจัย 2 อย่าง คือ

#### 3.2.1 ปริมาตรกรดอะซิติก

เนื่องจากวิธีมาตรฐาน ISO 6647: 2015 และ มกช. 4004-2560 มีการเติมกรดอะซิติก 1 mol/L ปริมาตรที่ต่างกันถึง 2 เท่า ในการทำให้เกิดสีของอะไมโลสกับไอโอดีน จึงศึกษาปริมาตรกรดอะซิติกที่เหมาะสม โดยใช้แบ่งข้าวมาตรฐานที่มีอะไมโลส 27.49 % เตรียมเป็นน้ำเปลี่ยนตามวิธีข้อ 2.2 และทำปฏิกิริยา กับไอโอดีนตามวิธีในข้อ 2.3 โดยเตรียม

ห้องหมุด 10 ชุด ซึ่งเติมกรดอะซิติก 1 mol/L ปริมาตรต่าง ๆ กัน นำไปวัด pH และค่าการดูดกลืนแสงของสารละลาย ได้ความสัมพันธ์ดังแสดงในรูปที่ 1

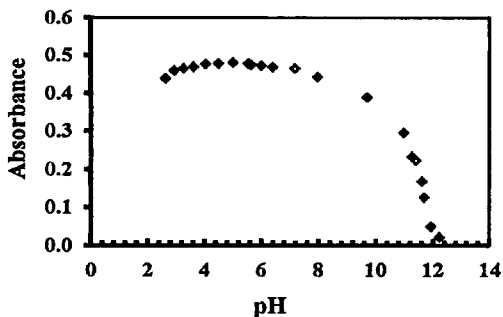


Figure 1 Effect of pH on absorbance of amylose-iodine complex

รูปที่ 1 พบร่วมกัน pH ที่เหมาะสมในการเกิดสารเชิงซ้อนของอะไมโลสกับไอโอดีน คือ 4.0-5.5 ซึ่งเท่ากับกรดอะซิติก 1 mol/L ปริมาตร 0.5-2.0 mL เป็นปริมาตรกรดที่ให้ค่าการดูดกลืนแสงสูงสุด เนื่องจากน้ำแข็งถูกเตรียมในสารละลายโดยเดี่ยมไออกไซด์ ดังนั้ngrดอะซิติกส่วนหนึ่งจะใช้ในการสหเทินเบสของน้ำแข็งก่อนที่จะไปปรับ pH ของสารละลายให้เหมาะสมกับบปภิกริยาการเกิดสารเชิงซ้อนระหว่างอะไมโลสและไอโอดีน ดังนั้นหากปริมาณโดยเดี่ยมไออกไซด์ที่ใช้ในการเตรียมน้ำแข็งต่างกันปริมาณกรดอะซิติกที่ใช้ก็จะต่างกันด้วย และร่วมกัน pH ที่เหมาะสมของการเกิดสารเชิงซ้อนที่ค่อนข้างกว้าง ทำให้สามารถใช้ปริมาตรกรดต่างกันได้มากถึง 4 เท่า เพื่อเป็นการประหยัดสารงานวิจัยนี้จึงเลือกใช้ปริมาตรกรดอะซิติก 0.5 mL อย่างไรก็ตาม เนื่องจากการดูดกลืนของสารละลายได้ถ้าปิดฝาภาชนะไม่นั่นพอหรือเวลาใช้มีการเทมาใส่ในบีกเกอร์ที่ไม่มีฝาปิด ดังนั้นความเข้มข้นของกรดอะซิติกจึงมีโอกาสที่จะเปลี่ยน

แปลงได้ตลอดเวลา จึงควรเช็ค pH ของสารละลายที่เกิดสีเป็นครั้งคราว เพื่อให้มั่นใจว่าอยู่ในช่วงที่เหมาะสม

### 3.2.2 ปริมาตรของสารละลายไอโอดีน

เมื่ออะไมโลสในน้ำแข็งทำปฏิกิริยากับไอโอดีนจะได้สารเชิงซ้อนสีน้ำเงิน แต่สารละลายไอโอดีนเองมีสีเหลือง ดังนั้นสีของสารละลายที่ได้จาก การเกิดปฏิกิริยาจึงมีสีน้ำเงินออกเขียวหรือสีเขียวคล้ำ ๆ ถ้าสารละลายมีไอโอดีนมากเกินไปจะบดบังสีของผลิตภัณฑ์ ทำให้การวัดค่าการดูดกลืนแสงเกิดความคลาดเคลื่อนได้ งานวิจัยนี้จึงได้ศึกษาปริมาตรที่เหมาะสมของสารละลายไอโอดีนที่ใช้โดยใช้น้ำแข็งมาตรฐานที่มีปริมาณอะไมโลส 27.49 % นำไปเตรียมน้ำแข็งตามวิธีในข้อ 2.2 และทำให้เกิดสีตามวิธีในข้อ 2.3 แต่เติมสารละลายไอโอดีนปริมาตรต่าง ๆ กัน คือ 0.25, 0.5, 1, 2 และ 3 mL ตามลำดับ โดยมีการเตรียม

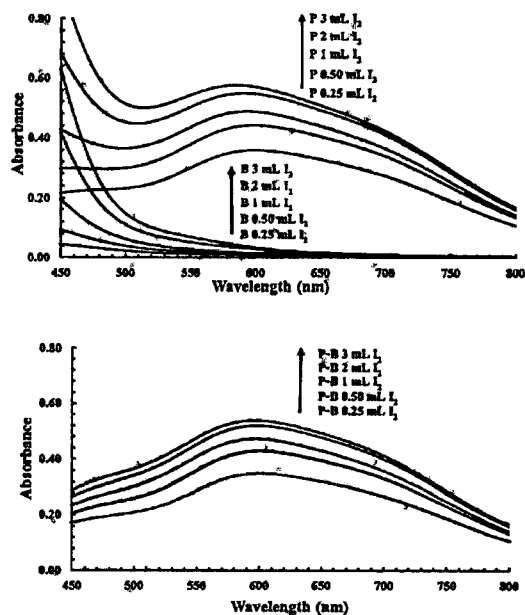


Figure 2 Effect of iodine volume on absorbance of amylose-iodine complex (P) and blank (B) solution

สารละลายแบล็คของสารละลายไอโอดีนแต่ละปริมาตรตัวอย่าง เพื่อนำไปวัดค่าการดูดกลืนแสง ได้สเปกตรัมการดูดกลืนแสงของสารละลายแบล็คและผลิตภัณฑ์ดังในรูปที่ 2 (บ) เมื่อนำสเปกตรัมของแบล็คลบออกจากผลิตภัณฑ์จะได้รูปที่ 2 (ล่าง)

รูปที่ 2 พบร่วมกับความยาวคลื่น 620 nm สัญญาณการดูดกลืนแสงของสารละลายแบล็ค มีค่าต่ำมาก แต่ก็มีแนวโน้มที่จะเพิ่มมากขึ้นเมื่อเพิ่มปริมาตรของไอโอดีน ดังนั้นในการวิเคราะห์อะโนโลสโดยการเกิดสีกับไอโอดีนนี้ ไม่ควรใช้ปริมาตรของไอโอดีนที่มากเกินไป สัญญาณการดูดกลืนแสงของผลิตภัณฑ์ที่หักกลบสารละลายแบล็คแล้ว จะมีลักษณะค่อนข้างสมมาตร และจะเห็นว่าค่าความยาวคลื่นที่สารดูดกลืนแสงได้สูงสุด หรือค่า  $\lambda_{max}$  จะอยู่ที่บริเวณ 600 มากกว่า 620 nm อันเนื่องมาจากการรบกวนของอะโนโลเพคทินที่เกิดสีกับไอโอดีนได้สารเชิงซ้อนมีค่า  $\lambda_{max}$  อยู่ที่ 550 nm [10] ส่วนสารเชิงซ้อนของอะโนโลสและไอโอดีนจะมีค่า  $\lambda_{max}$  อยู่ที่ 620 nm ดังในรูปที่ 3 นอกจากนี้ในรูปที่ 2 จะเห็นว่าสเปกตรัมที่เติมสารละลายไอโอดีน 2 และ 3 mL สัญญาณมีค่าใกล้เคียงกันมาก ส่วนสเปกตรัมเมื่อเติมสารละลายไอโอดีนเพิ่มขึ้นจาก 1 เป็น 2 mL มีค่าเพิ่มขึ้นเพียง 15 % เช่นเดียวกับการเติมสารละลายไอโอดีนเพิ่มขึ้นจาก 0.5 เป็น 1 mL เท่านั้น เมื่อเปรียบเทียบกับปริมาตรไอโอดีนที่เติมเพิ่มไปถึงหนึ่งเท่าตัว ดังนั้นจึงเลือกเติมสารละลายไอโอดีน 1 mL ซึ่งมีปริมาตรเท่ากับที่ใช้กันในวิธีมาตรฐาน ISO 6647: 2015 และ มาช. 4004-2560 โดยความเข้มข้นของไอโอดีนจะเท่ากัน คือ  $8.6 \times 10^{-3} \text{ mol/L}$  และเป็นการเตรียมไอโอดีนในสารละลาย KI เพื่อทำให้เกิดเป็นสารละลายไตรไอโอดีด ( $I_3^-$ ) ที่ละลายน้ำได้ดี

### 3.3 สารมาตรฐานที่เหมาะสมในการสร้างกราฟมาตรฐาน

ในวิธีวิเคราะห์หาปริมาณอะโนโลสตามวิธีมาตรฐานของ ISO 6647:2015 และ มาช. 4004-2560 มีการใช้สารมาตรฐานในการสร้างกราฟต่างกันโดยที่ ISO สร้างกราฟมาตรฐานจากแบ่งช่วงมาตรฐาน แต่กรรมการข้าวสร้างกราฟมาตรฐานจากอะโนโลสบริสุทธิ์ งานวิจัยนี้จึงได้สร้างกราฟมาตรฐานทั้ง 2 แบบเพื่อเปรียบเทียบกัน

3.3.1 กราฟมาตรฐานจากอะโนโลสบริสุทธิ์ ช่วงอะโนโลส 0.04000 g เตรียมเป็นปริมาตร 100 mL ตามวิธีในข้อ 2.2 โดยเพิ่มปริมาตรของสารเคมีตามสัดส่วน จากนั้นนำมาทำให้เกิดสีและวัดค่าการดูดกลืนแสงตามวิธีในข้อ 2.3 แต่จะมีการเติมสารละลายอะโนโลส 0.5, 1, 2, 3 และ 4 mL เพื่อให้ได้ความเข้มข้นของอะโนโลสเป็น 4, 8, 16, 24 และ 32 % ตามลำดับ เมื่อนำสารละลายมาวัดค่าการดูดกลืนแสงได้สเปกตรัมการดูดกลืนแสง มีค่า  $\lambda_{max}$  ที่ 620 nm (รูปที่ 3 ช้าย) เมื่อนำค่าการดูดกลืนแสงที่ 620 nm มาสร้างกราฟมาตรฐาน พบร่วมได้สมการเส้นตรง  $y = 0.0131x + 0.0034$  และมี  $R^2 = 0.9997$  (รูปที่ 3 ขวา)

รูปที่ 4 (ช้าย) พบร่วมค่า  $\lambda_{max}$  จะไม่เท่ากันที่แต่ละความเข้มข้นของอะโนโลส โดยเคลื่อนจาก 560 ไปที่ 600 nm เมื่อเปอร์เซ็นต์ของอะโนโลสเพิ่มขึ้น อันเนื่องจากในแบ่งช่วงมีทั้งอะโนโลสและอะโนโลเพคทิน ซึ่งสามารถเกิดสีกับไอโอดีนและให้สัญญาณทั้งคู่ โดยที่อะโนโลเพคทินให้ค่า  $\lambda_{max}$  550 nm [10] ส่วนอะโนโลสให้ค่า  $\lambda_{max}$  ที่ 620 nm (รูปที่ 3 ช้าย) สเปกตรัมที่ได้จึงเป็นค่าการดูดกลืนแสงรวมของสาร 2 ตัวนี้ แบ่งช่วงที่มีเปอร์เซ็นต์อะโนโลสต่ำจะมีอะโนโลเพคทินสูง ค่า  $\lambda_{max}$  จึงเลื่อนไปทางซ้าย ดังจะเห็นได้จากสเปกตรัมของแบ่งช่วงที่ 7 และ 15 % ส่วนแบ่งช่วงที่ 22 และ 30 % เตรียมมาจากแบ่งช่วงมาตรฐานตัวเดียวกัน คือ 27.49 % จะมีค่า  $\lambda_{max}$  ที่

เท่ากัน คือ ประมาณที่ 600 nm ดังนั้นกราฟมาตรฐานที่ใช้เป็นข้าวมาตรฐานนี้จึงเลือกใช้ค่าการดูดกลืนแสงที่ 620 nm ซึ่งเป็นค่า  $\lambda_{max}$  ของอะมิโนโลสกับไอโอดีน แม้จะไม่ใช่จุดที่มีค่าการดูดกลืนแสงสูงสุดของสเปกตรัม เป็นข้าวมาตรฐานก็ตาม เพราะที่ความยาวคลื่นนี้ค่าการดูดกลืนแสงจะเพิ่มขึ้นเป็นสัดส่วนกับเบอร์เช็นต์อะมิโนโลส ดังจะเห็นได้จากเมื่อนำค่าการดูดกลืนแสงที่ 620 nm ไปplot ตกราฟมาตรฐาน (รูปที่ 4 ขวา) จะได้สมการเส้นตรง  $y = 0.0163x - 0.0044$  และมี  $R^2 = 0.999$

เมื่อเปรียบเทียบกราฟมาตรฐานหั้งสองแบบ จะเห็นว่ากราฟมาตรฐานจากอะมิโนโลสบริสุทธิ์ให้

ค่าความชันต่ำกว่ากราฟมาตรฐานจากแบงช้า เนื่องจากในตัวอย่างข้าวมีอะมิโนโลสเพียงตัวเดียว ดังนั้นถ้าใช้กราฟมาตรฐานที่เตรียมจากอะมิโนโลสบริสุทธิ์ไปหาปริมาณอะมิโนโลสในข้าวตัวอย่างที่วิเคราะห์โดยไม่ได้กำจัดอะมิโนโลสเพิ่ม ก็จะได้ค่าอะมิโนโลสที่วิเคราะห์ได้จะมากกว่าที่ได้จากการกราฟมาตรฐานที่เตรียมจากแบงช้าประมาณ 21 % ดังแสดงในตารางที่ 5 การใช้กราฟมาตรฐานจากแบงช้าซึ่งมีองค์ประกอบเหมือนกับตัวอย่างข้าวที่จะวิเคราะห์ ผลที่ได้จึงมีความถูกต้องมากกว่า ซึ่งงานวิจัยในระยะหลังส่วนใหญ่ที่พับก็ใช้แบงช้ามาตรฐานจากการข้าวของประเทศไทยนั้น ๆ ในการสร้างกราฟมาตรฐานเช่นกัน [11,12]

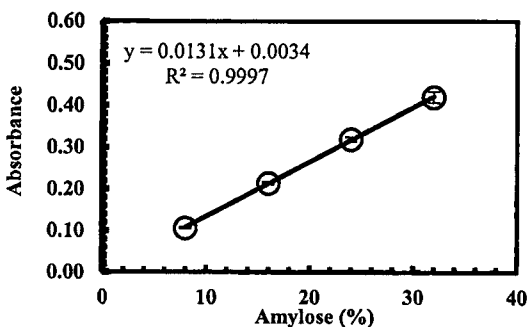
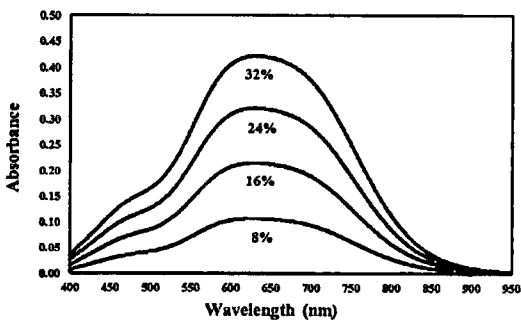


Figure 3 Calibration spectrum (left) and curve (right) of iodine binding method using pure amylose standard

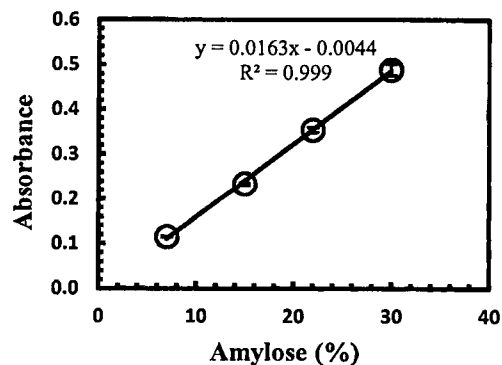
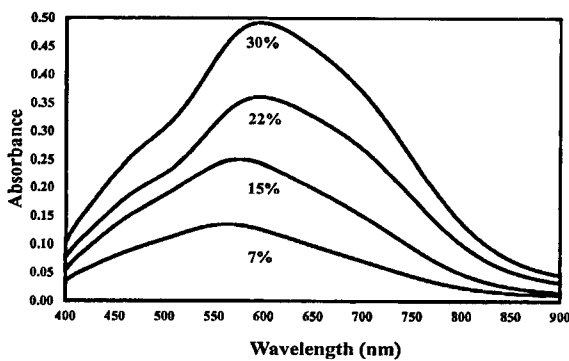


Figure 4 Calibration spectrum (left) and curve (right) of iodine binding method using rice starch standard

**Table 5** Difference of amylose contents in rice samples determined with different calibration curves

No.	Amylose (% , n = 3)				
	5	10	23	24	25
Pure amylose standard	14.93	28.32	32.14	34.19	24.46
Rice starch standard	12.48	23.24	26.31	27.96	20.14
Difference (%)	19.7	21.9	22.2	22.3	21.5

**Table 6** Five days duplicate determination of amylose content in rice samples for precision analysis

Day	Amylose set 1 (%)		Amylose set 2 (%)	
	Replicate 1 1	Replicate 2	Replicate 1	Replicate 2
1	12.21	12.63	29.00	29.92
2	10.92	11.53	29.06	28.65
3	12.24	12.32	29.80	29.20
4	12.68	13.06	29.78	29.38
5	12.40	11.84	27.16	28.11

### 3.4 ความถูกต้อง (accuracy) และความเที่ยง (precision) ของวิธี

ความถูกต้องของวิธีตรวจสอบโดยวิเคราะห์ท่อไม้โลสในสารมาตรฐานอ้างอิงแป้งข้าวเจ้า BCR-467 โดยทำ 2 ชุด พบว่าผลที่ได้ไม่แตกต่างอย่างมีนัยสำคัญกับค่าจริง (27.7 %) เมื่อวิเคราะห์ด้วยสถิติ t-test โปรแกรม Minitab 17 ได้ค่า p-value = 0.268 และ 0.587 ซึ่งมากกว่า  $\alpha$  (0.05) จึงสรุปได้ว่าวิธีการนี้มีความถูกต้องสูง

การตรวจสอบความเที่ยงของวิธีทำโดยใช้ตัวอย่างข้าว 5 ตัวอย่าง ที่มีอัตราไม้โลสใกล้เคียงกัน 2 ชุด คือ ชุดที่มีความเข้มข้นต่ำ  $\approx 12\%$  (ชุดที่ 1) และชุดที่มีความเข้มข้นสูง  $\approx 29\%$  (ชุดที่ 2) ทุกชุดปีเพتمาตัวอย่างละ 2 ช้อน ไปเตรียมน้ำแป้งตามวิธีในข้อ 2.2 และทำให้เกิดสีและวัดค่าการดูดกลืนแสงสร้างกราฟมาตรฐานตามวิธีในข้อ 2.4 คำนวนหาปริมาณอะไม้โลสได้ผลดังในตารางที่ 6

เมื่อนำข้อมูลที่ได้จากการที่ 6 มาวิเคราะห์ด้วยสถิติ single ANOVA ด้วยโปรแกรม Excel ได้ความแปรปรวนระหว่างกลุ่มและความแปรปรวนในกลุ่มของแต่ละชุดดังในตารางที่ 7 เมื่อนำมาคำนวณค่าเบี่ยงเบนมาตรฐานสัมพัทธ์ (%RSD) จะได้ค่าความเที่ยงภายในวันเท่ากับ 2.6 และ 1.7 %RSD ( $n = 5$ ) ท่อไม้โลส 12 และ 29 % ตามลำดับ ส่วนความเที่ยงระหว่างวันมีค่า 5.3 และ 3.1 %RSD ( $n = 10$ ) ท่อไม้โลส 12 และ 29 % ตามลำดับ

### 3.5 ปริมาณอะไม้โลสในตัวอย่างข้าว

ข้าวเจ้า 22 ตัวอย่าง และข้าวเหนียว 4 ตัวอย่าง เป็นข้าวที่ปลูกปี พ.ศ. 2558-2559 โดยหมายเลข 1-5 นำมารากจากศูนย์วิทยาศาสตร์ข้าว มหาวิทยาลัยเกษตรศาสตร์ วิทยาเขตกำแพงแสน อำเภอกำแพงแสน จังหวัดนครปฐม หมายเลข 6-13 มาจากคณะเทคโนโลยี มหาวิทยาลัยราชภัฏอุตรธานี

Table 7 Statistical results of single ANOVA for precision analysis

ANOVA of set 1						
Sources of variation	SS	df	MS	F	p-values	$F_{crit}$
Between groups	2.92	4	0.73	7.17	0.03	5.19
Within groups	0.51	5	0.10			
Total	3.43	9				

ANOVA of set 2						
Source of variation	SS	df	MS	F	p-value	$F_{crit}$
Between groups	5.39	4	1.35	5.53	0.04	5.19
Within groups	1.22	5	0.24			
Total	6.61	9				

Table 8 Determined amylose content in rice samples with various cultivars (n = 3)

No.	Rice cultivars	Amylose (%)	No.	Rice cultivars	Amylose (%)
1, 5	Riceberry (chemical)	12.6, 13.3	18	Jow Hawm Suphan Buri	14.9
2-4	Riceberry (organic)	11.8-12.0	19	Khao Gong	14.4
6	RD60	14.2	20	Khao Hawm Mali	15.9
7	Mali Dum	12.9	21	Khao Mun Poo	13.7
8	Jow Hawm Dong	7.4	22	Khao Dang	28.1
9	Jow Dang	19.9	23, 24	Khao Sao Hai	26.2, 29.9
16	RD41	20.4	25, 26	Khao Hawm Pratum	19.1, 20.7
17	RD43	15.9			

วิทยาเขตสามพร้าว อำเภอเมือง จังหวัดอุดรธานี หมายเลข 14-18 จากศูนย์วิจัยข้าวสุพรรณบุรี ตำบลรั้วใหญ่ อำเภอเมืองสุพรรณบุรี จังหวัดสุพรรณบุรี หมายเลข 19-26 จากร้านค้าในจังหวัดชลบุรี และ กรุงเทพมหานคร นำข้าวทั้งหมดมาเตรียมเป็นน้ำแข็ง และวิเคราะห์อะไมโลส โดยเปรียบเทียบหาปริมาณ จากกราฟมาตรฐานแป้งข้าว จะพบว่าข้าวตัวอย่างส่วนใหญ่มีอะไมโลสต่ำกว่า 20 % ราย ละเอียดดังในตารางที่ 8

#### 4. สรุป

ปัจจัยสำคัญที่ทำให้ผลการวิเคราะห์ปริมาณอะไมโลสโดยไม่ได้กำจัดอะไมโลเพคทินออกจากตัวอย่าง มีความคลาดเคลื่อนสูงจากการใช้สารบริสุทธิ์อะไมโลสในการสร้างกราฟมาตรฐาน ซึ่งจะทำให้ค่าที่ได้สูงกว่าการใช้แป้งข้าวมาตรฐานประมาณ 21 % นอกจากนี้ยังมีสาเหตุอื่นๆ หลายประการที่อาจทำให้เกิดความคลาดเคลื่อนได้ เช่น การใช้  $\lambda_{max}$  ที่ 620nm ซึ่งอยู่ในช่วงที่คาดเอียงของสเปกตรัม จึงทำให้

เกิดความคลาดเคลื่อนในการอ่านค่าการดูดกลืนแสงได้มากกว่าปกติที่ใช้  $\lambda_{max}$  ที่เป็นจุดสูงสุดของสเปกตรัมซึ่งจะอยู่บริเวณแนวราบของยอดพีค กรณ道ซิติก และสารละลายไอโอดีนเป็นสารที่ไม่อよดตัว ดังนั้นถ้าเตรียมไว้แล้วใช้น้ำเกินไป ความเข้มข้นอาจลดลงทำให้ผลวิเคราะห์ผิดพลาดได้ การวิเคราะห์จะไม่โลสด้วยวิธีจับกับไอโอดีนนี้มีการรบกวนจากอะไมโลแพคทินด้วย จึงได้มีการเรียกปริมาณอะไมโลสที่วิเคราะห์ได้ด้วยวิธีนี้ว่า apparent amylose ซึ่งจัดเป็นการวิเคราะห์แบบกึ่งปริมาณวิเคราะห์ (semi-quantitative) จึงมีโอกาสเกิดความคลาดเคลื่อนได้เช่นกัน [12] ดังนั้นมาตรฐานของวิธีวิเคราะห์ปริมาณอะไมโลสในข้าว คือ ควรใช้กราฟมาตรฐานที่เตรียมจากแบ่งข้าวมาตรฐานที่เป็นข้าวชนิดเดียวกับข้าวตัวอย่างที่จะวิเคราะห์ ใช้  $\lambda_{max}$  ที่ 620 nm และใช้กรณ道ซิติกและสารละลายไอโอดีนที่เตรียมไว้ไม่เกิน 1 สปีดาร์ เตรียมน้ำแบ่งด้วยวิธีทึ้งค้างคืน หรือถ้าต้องการความรวดเร็วให้เตรียมด้วยการกรุนพร้อมทั้งให้ความร้อนด้วย เพื่อลดปัญหาการเหลือเศษอนภาคของแบ่งข้าวที่อาจดไม่ละเอียด (ใหญ่กว่า 150-180 μm) ตกค้างอยู่ในน้ำแบ่ง

## 5. กิตติกรรมประกาศ

งานวิจัยนี้ได้รับทุนสนับสนุนการวิจัยจากงบประมาณเงินรายได้ จากเงินอุดหนุนรัฐบาล (งบประมาณแผ่นดิน) ประจำปีงบประมาณ 2561 มหาวิทยาลัยบูรพา ผ่านสำนักงานคณะกรรมการวิจัยแห่งชาติ เลขที่สัญญา 58/2561

## 6. References

- [1] Tester, R.F., Karkalas, J., and Qi, X., 2004, Starch-composition, fine structure and architecture, *J. Cereal Sci.* 39: 151-165.
- [2] Suwannaporn, P., Pitipunpong, S. and Champangern, S., 2007 , Classification of rice amylose content by discriminant analysis of physicochemical properties, *Starch Stärke* 59: 171-177.
- [3] McCready, R.M. and Hassid, W.Z., 1943, The separation and quantitative estimation of amylose and amylopectin in potato starch, *J. Am. Chem. Soc.* 65: 1154-1157.
- [4] Juliano, B.O., 1971, A simplified assay for milled rice amylose, *Cereal Sci. Today* 16: 334-340.
- [5] International Organization for Standardization (ISO), 2015, International Standard ISO/IEC 6647-1: 2015(E)- Rice- Determination of Amylose Content, Part 1: Reference Method, 2nd Ed., Geneva.
- [6] International Organization for Standardization (ISO), 2015, International Standard ISO/IEC 6647-1: 2015(E)-Rice-Determination of Amylose Content, Part 2: Routine Method, 2nd Ed., Geneva.
- [7] Fitzgerald, M.A., Bergman, C.J., Resurrecion, A.P., Möller, J., Jimenez, R., Reinke, R.F., Martin, M., Blanco, P., Molina, F., Chen, M.H., Kuri, V., Romero, M.V., Habibi, F., Umemoto, T., Jongdee, S., Graterol, E., Reddy, K.R., Bassinello, P.Z., Sivakami, R., Rani, N.S., Das, S., Wang, Y.J., Indrasari, S.D., Ramli, A., Ahmad, R., Dipti, S.S., Xie, L., Lang, N.T., Singh, P., Toro, D.C., Tavasoli, F. and Mestres, C., 2009, Addressing the dilemmas of measuring

- amylose in rice, Cereal Chem. 86: 492-498.
- [8] Ministry of Agriculture and Cooperatives, 2017, TAS 4004-2017: Thai Agricultural Standard: Thai Rice, National Bureau of Agricultural Commodity and Food Standards, Bangkok. (in Thai)
- [9] Rattanapol, P. and Sreewongchai, T., 2012, Development of amylose content analysis in rice grain using small amount of sample, 50 th Kasetsart University Annual Conference: Agricultural Extension and Home Economics, Plants, Kasetsart University, Bangkok. (in Thai)
- [10] Juliano, B., Perez, C.M., Blakeney, A.B., Castillo, T., Kongeree, N., Laignelet, B. and Webb, B.D., 1981, International cooperative testing on the amylose content of milled rice, Starch Stärke 33: 157-162.
- [11] Avaro, M.R.A., Pan, Z., Yoshida, T. and Wada, Y., 2011, Two alternative methods to predict amylose content of rice grain by using tristimulus cie lab values and developing a specific color board of starch-iodine complex solution, Plant Prod. Sci. 14: 164-168.
- [12] Hu, X., Lu, L., Fang, C., Duan, B. and Zhu, Z., 2015, Determination of apparent amylose content in rice by using paper-based microfluidic chips, J. Agric. Food Chem. 63: 9863-9868.